

文章编号:1001-9081(2007)03-0630-03

## 求解旅行商问题的位置一次序编码差分演化算法

贺毅朝<sup>1</sup>, 寇应展<sup>2</sup>, 陈致明<sup>2</sup>

(1. 石家庄经济学院, 信息工程学院, 河北 石家庄 050031;

2. 军械工程学院, 计算机工程系, 河北 石家庄 050003)

(heyichao@sjzue.edu.cn)

**摘要:**首先利用“差异算子”和“选择算子”描述了差分演化算法(DE)的基本原理,然后提出了一种新的、通用的特殊编码方法:位置-次序编码法,并利用此编码方法,提出了求解著名旅行商问题的离散差分演化算法:基于位置-次序编码的差分演化算法(PODE)。对于 TSPLIB 中两个不同规模的旅行商问题实例的计算表明,PODE 算法具有极好的收敛性和稳定性。

**关键词:**差分演化算法;位置次序编码;旅行商问题

**中图分类号:** TP181 **文献标识码:** A

### Differential evolution algorithm with position-order encoding for solving traveling salesman problem

HE Yi-chao<sup>1</sup>, KOU Ying-zhan<sup>2</sup>, CHEN Zhi-ming<sup>2</sup>

(1. School of Information Engineering, Shijiazhuang University of Economics, Shijiazhuang Hebei 050031, China;

2. Computer Engineering Department, Ordnance Engineering College, Shijiazhuang Hebei 050003, China)

**Abstract:** First, the differential evolution algorithm with differential operator and selection operator was introduced. Then, a new and universal encode method, position-order encoding method, was proposed. Based on the approach, a discrete differential evolution algorithm, position-order encoding based differential evolution algorithm (PODE), was proposed. The numerical results about two TSP instances in TSPLIB show that PODE has excellent convergence and stability.

**Key words:** differential evolution (DE); position-order encoding; traveling salesman problem (TSP)

## 0 引言

差分演化(Differential Evolution, DE)算法<sup>[1,2]</sup>是一种演化算法,非常适合于求解连续域最优化问题。目前,DE 已经被成功地用于解决函数优化、多目标优化、神经网络训练和系统控制等不同领域中的连续域数值最优化问题<sup>[3-5]</sup>。但是,对于解决离散域上的组合优化问题,特别是一类 NP 难问题的应用研究还是一片空白。旅行商问题(Traveling Salesman Problem, TSP)是著名的 NP-hard 问题,其描述为:给定  $n$  个城市和两两城市之间的距离,求一条访问各城市一次且仅一次的最短路径。TSP 是典型的组合优化问题,经常用来检验智能演化算法的有效性<sup>[6]</sup>。

本文首先利用“差异算子”和“选择算子”描述了 DE 的基本原理;然后基于排序的思想,采用个体分量的位置与其大小次序相结合所构成的自然数序列(即位置-次序编码)表示一条 TSP 路径,从而提出了一种新的、通用的编码方法,解决了基于实数运算的 DE 算法求解 TSP 的关键性难题:TSP 路径的自然数编码表示与实数运算的不兼容性。并利用这种编码方法,提出了求解 TSP 的离散差分演化算法:基于位置-次序编码的差分演化算法(简记 PODE)。通过对 TSP 实例的计算表明:PODE 算法既保持了实数编码 DE 的优点,又非常适于求解组合最优化问题,其全局收敛性能和稳定性都能极佳。

## 1 差分演化算法

差分演化算法是一种基于实数编码的演化算法,在每一代演化过程中,首先利用差异算子(Differential Operator, DO)得到一个由父子混合个体构成的中间种群,然后利用选择算子(Select Operator, SO)基于优胜劣汰的竞争机制重组新一代种群。由于 DE 算法的 DO 算子和 SO 算子的计算简单且高效,使得 DE 算法比粒子群优化算法和遗传算法的收敛速度更快,全局收敛性能更优<sup>[7]</sup>。目前,DE 算法存在十几种不同的模式,各模式除了差异算子有异以外,其余均基本相同。下面基于 DE/r/1/bin 模式,在严格形式化描述的基础上,以演化算法的一般实现框架阐明差分演化算法的原理。

首先定义基本个体与中间个体如下:

**定义 1** 在 DE 算法中,称用于表示问题潜在解的  $d$  维向量  $\mathbf{X}_i = (x_{i1}, x_{i2}, \dots, x_{id})^T \in S$  为种群中的第  $i$  个基本个体。

**定义 2** 在 DE 算法中,称由当前种群重组后所得到的中间种群中的个体为中间个体。对应于基本个体  $\mathbf{X}_i = (x_{i1}, x_{i2}, \dots, x_{id})^T$  的中间个体用向量  $\mathbf{V}_i = (v_{i1}, v_{i2}, \dots, v_{id})^T$  表示,  $\mathbf{V}_i \in S$ 。

设所求解问题的目标函数  $f(\mathbf{X})$  为最小化函数,其搜索空间  $S = \{\mathbf{X} | \mathbf{X} = (x_1, x_2, \dots, x_d)^T \wedge L_i \leq x_i \leq U_i, i = 1, 2, \dots, d\} \subseteq \mathbf{R}^d$ ,  $\mathbf{R}$  为实数集,  $d$  为解空间的维数。又设  $t$  表示 DE 算法

收稿日期:2006-06-28;修订日期:2006-09-03 基金项目:国家自然科学基金重点资助项目(60471022)

作者简介:贺毅朝(1969-),男,河北晋州人,讲师,硕士,主要研究方向:智能计算、计算机密码学、计算复杂性理论;寇应展(1962-),男,陕西西安人,教授,主要研究方向:优化算法、软件工程、计算机网络安全;陈致明(1940-),男,吉林洮南人,教授,博士生导师,主要研究方向:计算机网络与信息安全、算法理论、计算机高等体系结构。

的演化代数,  $s$  为种群规模,  $V_i(t+1) = (v_{i1}(t+1), v_{i2}(t+1), \dots, v_{id}(t+1))^T$  是第  $t+1$  代中间种群中的第  $i$  个中间个体,  $X_i(t+1)$  和  $X_i(t)$  分别为第  $t+1$ 、 $t$  代种群中第  $i$  个基本个体, 则差异算子的计算公式为:

$$v_{ij}(t+1) = \begin{cases} x_{p_{1j}}(t) + \alpha(x_{p_{2j}}(t) - x_{p_{3j}}(t)), & r \leq CR \text{ 或 } j = R(i) \\ x_{ij}(t), & r > CR \text{ 或 } j \neq R(i) \end{cases} \quad (1)$$

其中  $1 \leq i \leq s, 1 \leq j \leq d, p_1 \neq p_2 \neq p_3 \neq i; \alpha < 1$  称为缩放因子,  $r$  是一个随机数且  $r \sim (0, 1)$ ;  $CR$  称为交叉概率, 并且  $CR \in [0, 1], R(i)$  是  $[1, n]$  上的一个随机正整数。

选择算子的计算公式为:

$$X_i(t+1) = \begin{cases} V_i(t+1), & f(V_i(t+1)) < f(X_i(t)) \\ X_i(t), & f(V_i(t+1)) \geq f(X_i(t)) \end{cases} \quad (2)$$

令 DE 算法的演化迭代过程中的全局最优个体为  $X_{best}$ , 则 DE 算法的形式化描述如下:

算法 1 DE Algorithm

Initialize population  $\{X_i \mid 1 \leq i \leq PopulationSize\}$ ;

Do

For  $i = 1$  to  $PopulationSize$

For  $j = 1$  to  $Dimension$

If  $(r \leq CR \vee j = R(i))$

then  $v_{ij} = x_{p_{1j}} + \alpha(x_{p_{2j}} - x_{p_{3j}})$

else  $v_{ij} = x_{ij}$ ;

Next  $j$

If  $(f(v_{i1}, v_{i2}, \dots, v_{id}) < f(x_{i1}, x_{i2}, \dots, x_{id}))$  then  $X_i = V_i$ ;

Next  $i$

Compute  $(X_{best})$ ;

Until termination criterion is met;

Return  $(X_{best}, f(X_{best}))$ .

在算法 1 中, Initialize population 表示随机产生初始大小为  $PopulationSize$  的种群,  $Dimension = d$  为解空间的维数;  $f(v_{i1}, v_{i2}, \dots, v_{id})$  和  $f(x_{i1}, x_{i2}, \dots, x_{id})$  分别为  $V_i(t+1)$  和  $X_i(t)$  对应的函数值,  $\alpha \sim (0, 1)$  是一个随机数。此外, 由上述描述可以看出, DE 算法所涉及到的数据结构和运算非常简单, 相比遗传算法和粒子群优化算法更易于编程实现, 而且运算速度也比它们更快<sup>[2,7]</sup>。

## 2 旅行商问题

TSP 是图论、运筹学和组合优化中的经典 NP-hard 问题, 对其常用的求解方法有近似算法和演化算法两大类。其中近似求解算法有最邻近法、最小生成树法和最小权匹配法等<sup>[8]</sup>; 演化求解算法有模拟退火算法、遗传算法、免疫算法和蚁群算法等<sup>[6,9]</sup>。从图论的角度而言, TSP 的数学描述为:

给定无向图  $G = \langle V, E \rangle$ , 其中  $V$  为顶点集,  $E$  为边集, 且  $|V| = n$ 。  $D = (d_{ij})_{n \times n}$  为顶点距离矩阵, 其元素  $d_{ij}$  表示城市  $i$  与  $j$  间的距离。又设  $\pi = (\pi_1, \pi_2, \dots, \pi_n)$  表示  $1, 2, \dots, n$  的一个排列, 则 TSP 为约束组合优化问题:

$$\begin{aligned} \min f(\pi) &= \min \sum_{i=1}^n d_{\pi_i, \pi_{i+1}}, \text{ 假设 } \pi_{i+1} = \pi_1 \quad (3) \\ \text{s. t. } &\begin{cases} d_{ij} \geq 0, d_{ii} = 0, d_{ij} = d_{ji}, \text{ 其中 } 1 \leq i, j \leq n \\ \text{满足三角不等式: } d_{ij} + d_{jk} \geq d_{ik}, \text{ 其中 } 1 \leq i, j, k \leq n \end{cases} \quad (4) \end{aligned}$$

TSP 的描述很简单, 但是却不容易求解, 因为该问题的解空间基数为  $(n-1)!/2$ , 若用穷举搜索法求解, 其算法复杂性

是指数阶的, 即随着  $n$  的增大, 求解该问题所用时间呈指数增长, 所以寻求和研究 TSP 的有效智能化算法是问题的关键。

## 3 基于位置-次序编码的差分演化算法

DE 算法虽然成功应用于连续域上的数值优化问题, 但对于离散域上组合优化问题却不能直接使用, 原因在于差异算子的计算公式(1)是基于实数域上的四则运算, 而离散域上组合优化问题的解(个体)往往由自然数(向量)表示, 差异算子的计算公式(1)对自然数不满足封闭性。所以, 在保留差异算子高效计算的基础上, 如何使自然数的四则运算封闭, 是将 DE 算法用于求解组合优化问题的关键所在。通过实验和分析发现, 在 DE 算法中, 个体中的每一分量虽然是实数, 但不同分量之间是有大小之分的, 而且各分量的大小是不断变化的。那么将各分量按大小排序后, 利用其对应的次序表示此分量所在位置上所对应的一个自然数, 由此即构成一个自然数向量, 可用于表示组合优化问题的解向量。这样, DE 算法中的每一个基于实数编码的个体, 均对应于一个基于自然数编码的解向量。显然, 利用这种方法即可表示离散域上组合优化问题的解, 从而实现对该问题的求解。下面给出这种编码方法的定义。

定义 3 设  $X_i(t) = (x_{i1}(t), x_{i2}(t), \dots, x_{id}(t))^T$  为 DE 算法的第  $t$  代种群中第  $i$  个基本个体, 令  $Ord(x_{ij}(t))$  表示  $x_{i1}(t), x_{i2}(t), \dots, x_{id}(t)$  按由小到大排序以后  $x_{ij}(t)$  在排序序列中的次序,  $1 \leq j \leq d$ , 则称:

$$C(t) = (Ord(x_{i1}(t)), Ord(x_{i2}(t)), \dots, Ord(x_{id}(t)))^T \quad (5)$$

为对应于第  $t$  代种群中基本个体  $X_i(t)$  的位置-次序编码向量 (Position-Order Encoding Vector, POEV)。

例如, 若基本个体  $X(t) = (2.0337, -1.9720, 4.9901, -4.0015)^T$ , 则由定义 3 可知,  $X(t)$  对应的位置-次序编码向量为  $C(t) = (2, 3, 1, 4)^T$ 。

显然,  $C(t)$  是一个基于自然数编码的  $d$  维向量, 而且  $Ord(x_{i1}(t)), Ord(x_{i2}(t)), \dots, Ord(x_{id}(t))$  对应于  $1, 2, \dots, d$  的一个排列, 故可用于表示离散域上组合优化问题的解向量编码。由于这种编码方法是由个体分量的位置和排序后的次序所决定的, 因此称这种编码方法为位置-次序编码方法 (Position-Order Encoding Method, POEM)。

由定义 3 可以看出, POEM 是求解组合优化问题的一种通用编码方法, 该方法可用于任意基于实数编码的演化算法, 例如粒子群优化算法和思维进化算法等, 使这些算法也适用于求解组合优化问题。下面将 POEM 与 DE 算法相结合, 提出一种求解 TSP 的基于位置-次序编码的差分演化算法 (PODE), 首次将差分演化算法用于求解组合优化问题中的著名 TSP。

设算法的种群规模为  $s$ ,  $t$  表示当前的迭代次数,  $d$  为解空间维数。第  $t$  代基本个体的编码由有序对  $(X_i(t), C_i(t))$  表示, 其中  $X_i(t) = (x_{i1}(t), x_{i2}(t), \dots, x_{id}(t))^T \in \mathbf{R}^d$  为实数向量,  $C_i(t) = (c_{i1}(t), c_{i2}(t), \dots, c_{id}(t))^T$  为对应于  $X_i(t)$  的位置-次序编码向量,  $c_{ij}(t) = Ord(x_{ij}(t))$ ; 第  $t+1$  代中间个体的编码由  $(V_i(t+1), CC_i(t+1))$  表示, 其中  $V_i(t+1) = (v_{i1}(t+1), v_{i2}(t+1), \dots, v_{id}(t+1))^T \in \mathbf{R}^d$ ,  $CC_i(t+1) = (cc_{i1}(t+1), cc_{i2}(t+1), \dots, cc_{id}(t+1))^T$  为对应于  $V_i(t+1)$  的位置-次序编码向量,  $cc_{ij}(t+1) = Ord(v_{ij}(t+1))$ 。

**定义 4** 新差异算子(New Differential Operator, NDO)的计算公式定义如下:

$$v_{ij}(t+1) = \begin{cases} x_{p_{ij}}(t) + \alpha(x_{p_{2j}}(t) - x_{p_{3j}}(t)), & r \leq CR \text{ 或 } j = R(i) \\ x_{ij}(t), & r > CR \text{ 或 } j \neq R(i) \end{cases} \quad (6)$$

$$cc_{ij}(t+1) = Ord(v_{ij}(t+1)) \quad (7)$$

其中  $1 \leq i \leq s, 1 \leq j \leq d, p_1 \neq p_2 \neq p_3 \neq i; \alpha < 1$  称为缩放因子,  $r$  是一个随机数且  $r \sim (0, 1), CR$  称为交叉概率, 并且  $CR \in [0, 1], R(i)$  是  $[1, n]$  上的一个随机正整数。

**定义 5** 新选择算子(New Select Operator, NSO)的计算公式定义如下:

$$X_i(t+1) = \begin{cases} V_i(t+1), & f(CC_i(t+1)) < f(C_i(t)) \\ X_i(t), & f(CC_i(t+1)) \geq f(C_i(t)) \end{cases} \quad (8)$$

利用定义 4, 5 定义的 NDO 算子和 NSO 算子, 并令  $X_{best}$  表示算法演化过程中的全局最优个体, 则 PODE 算法可形式化描述为:

#### 算法 2 PODE Algorithm

Initialize population:  $\{(X_i, C_i) \mid 1 \leq i \leq PopulationSize\}$ ;

Do

For  $i = 1$  to  $PopulationSize$

For  $j = 1$  to  $Dimension$

If  $(r \leq CR \vee j = R(i))$

then  $v_{ij} = x_{p_{ij}} + \alpha(x_{p_{2j}} - x_{p_{3j}})$

else  $v_{ij} = x_{ij}$ ;

Next  $j$

$CC_i = Ord(V_i)$ ; //可利用快速排序算法实现

If  $(f(cc_{i1}, cc_{i2}, \dots, cc_{id}) < f(c_{i1}, c_{i2}, \dots, c_{id}))$

then  $(X_i, C_i) = (V_i, CC_i)$ ;

Next  $i$

Compute  $(X_{best})$ ;

Until termination criterion is met;

Return  $(X_{best}, f(X_{best}))$

算法 2 中的参数说明同算法 1(略)。由以上论述可以看出:在 PODE 算法中, NDO 的本质是在 DO 的基础上增加了一个  $Ord(\cdot)$  运算, 算法的基本演化特征并没有改变, 而 NSO 与 SO 的实质相同, 因此, PODE 算法在保持 DE 算法的基本演化特征的前提下, 借助于个体的位置到次序的转化, 成为适用于求解组合优化问题的演化算法。由于  $Ord(\cdot)$  运算所需的排序算法(如快速排序算法)的时间复杂性是  $O(n \log n)$ , 因此

$Ord(\cdot)$  运算在一定程度上增加了算法的时间开销; 但由于  $Ord(\cdot)$  运算具有高效性, 而且 PODE 算法继承了 DE 算法的快速全局收敛性优点, 使求得最优解所需的迭代次数大大减少, 故可保持较快的求解速度。

## 4 实验结果

为了验证 PODE 算法的有效性和实用性, 选用 TSPLIB<sup>[10]</sup> 中两个不同规模的 TSP 标准测试实例: ulysses16-TSP 和 att48-TSP, 在 DELL Pentium(R)4-CPU 1.69GHz 型微计算机上利用 VC++6.0 编程求解。在求解 ulysses16-TSP 时, 算法的种群规模取为 50; 在求解 att48-TSP 时, 种群规模为 100。此外, 设定算法的缩放因子  $\alpha = 0.5$ , 交叉概率  $CR = 0.3$ , 每个 TSP 标准测试实例均连续求解 10 次。PODE 算法求解这两个 TSP 实例的结果见表 1。

ulysses16-TSP 中 16 个城市的序号和坐标  $(x, y)$  分别为:

1 (38.24, 20.42), 2 (39.57, 26.15), 3 (40.56, 25.32), 4 (36.26, 23.12), 5 (33.48, 10.54), 6 (37.56, 12.19), 7 (38.42, 13.11), 8 (37.52, 20.44), 9 (41.23, 9.10), 10 (41.17, 13.05), 11 (36.08, -5.21), 12 (38.47, 15.13), 13 (38.15, 15.35), 14 (37.51, 15.17), 15 (35.49, 14.32), 16 (39.36, 19.56)

att48-TSP 中 48 个城市的序号和坐标  $(x, y)$  分别为:

1 (6734, 1453), 2 (2233, 10), 3 (5530, 1424), 4 (401, 841), 5 (3082, 1644), 6 (7608, 4458), 7 (7573, 3716), 8 (7265, 1268), 9 (6898, 1885), 10 (1112, 2049), 11 (5468, 2606), 12 (5989, 2873), 13 (4706, 2674), 14 (4612, 2035), 15 (6347, 2683), 16 (6107, 669), 17 (7611, 5184), 18 (7462, 3590), 19 (7732, 4723), 20 (5900, 3561), 21 (4483, 3369), 22 (6101, 1110), 23 (5199, 2182), 24 (1633, 2809), 25 (4307, 2322), 26 (675, 1006), 27 (7555, 4819), 28 (7541, 3981), 29 (3177, 756), 30 (7352, 4506), 31 (7545, 2801), 32 (3245, 3305), 33 (6426, 173), 34 (4608, 1198), 35 (23, 2216), 36 (7248, 3779), 37 (7762, 4595), 38 (7392, 2244), 39 (3484, 2829), 40 (6271, 2135), 41 (4985, 140), 42 (1916, 1569), 43 (7280, 4899), 44 (7509, 3239), 45 (10, 2676), 46 (6807, 2993), 47 (5185, 3258), 48 (3023, 1942)

表 1 PODE 算法求解两个 TSP 标准测试实例的结果

TSP 标准实例	最优解个体的编码	最优解	最小迭代次数	平均时间/s	成功率(%)
ulysses16	1, 14, 13, 12, 7, 6, 15, 5, 11, 9, 10, 16, 3, 2, 4, 8	193.12	1227	6.91	100
att48	1, 8, 38, 31, 44, 18, 7, 28, 6, 37, 19, 27, 17, 43, 30, 36, 46, 33, 20, 47, 21, 32, 39, 48, 5, 42, 24, 10, 45, 35, 4, 26, 2, 29, 34, 41, 16, 22, 3, 23, 14, 25, 13, 11, 12, 15, 40, 9	15349.471	3051	15.38	90

对于 ulysses16-TSP, PODE 算法只需要搜索解空间的  $(1227 \times 50) / \{(16-1)! / 2\} = 0.000009.4\%$ ; 而对于 att48-TSP, PODE 算法只需要搜索解空间的  $(3051 \times 100) / \{(48-1)! / 2\} = (2.3594 \times 10^{-51})\%$ 。

由表 1 可以看出, 无论是 PODE 算法求得最优解所需的最小迭代数, 还是求得最优解所用的平均时间, 都是较低的, 这说明 PODE 算法求解这两个 TSP 标准实例的效率是非常高的, 速度也是非常快的; 同时, 由表 1 还可以看出, PODE 算法求得的这两个 TSP 标准实例的最优解的概率也都很高。总

之, 虽然仅对两个 TSP 标准实例进行了求解测试, 但从结果可以看出, 利用位置-次序编码方法的 PODE 算法具有极好的收敛性和稳定性, 在保持 DE 算法优势的基础上, 可有效地求解 TSP 等组合优化问题; 此外, 由 PODE 算法的原理还可以看出: 在算法中的  $CC_i = Ord(V_i)$  步骤之后, 还可以尝试通过引入求解 TSP 常用的“倒位算子<sup>[6]</sup>”等运算, 进一步探讨对 PODE 算法的加强与改进, 从而更好地提高其求解 TSP 的求解效率。

(下转第 641 页)

图 5 是 MMAS 训练过程中适应度值的进化曲线,作为评价指标,它随 Epochs 的增加而逐步递减。

表 1 参数比较

算 参	序号					MSE (10 <sup>-3</sup> )	TMSE (10 <sup>-3</sup> )
	1	2	3	4	5		
遗 传	w	0.3059	0.4337	0.4273	0.4713	0.4930	9.66970
	u	0.7779	0.7635	0.7679	0.7378	0.7936	13.1040
	τ	0.2954	0.3372	0.3109	0.3568	0.3139	8.83665
蚁 群	w	0.2223	0.5062	0.2731	0.3798	0.5947	0.33912
	u	0.6860	0.8136	0.6457	0.8440	0.7105	2.36121
	τ	0.2796	0.4419	0.3009	0.4814	0.4240	2.65551

为比较算法性能,笔者对同一个 FPN 模型用另一全局搜索能力出众的标准遗传算法(GA)来实现。算法中 GA 种群数为 50,训练样本数 50,变异率从 0.05 到 0.1。将 GA 与 ACA 共同迭代 300 次后的结果进行对比,如表 1 所示。表中数据是 10 次运行程序结果的平均值。显然,ACA 无论在每组参数的精确度上都要优于常用的 GA 全局优化算法,经 ACA 改进型算法 MMAS 优化的效果十分明显。另外,在两种算法的运行速度上,选取有代表性的迭代 200 和 300 次的时间进行对比,10 次实验的平均用时值如图 6 所示。可见,在两种情况下,ACA 的用时都要少于 GA,ACA 的运行效率明显高于 GA。

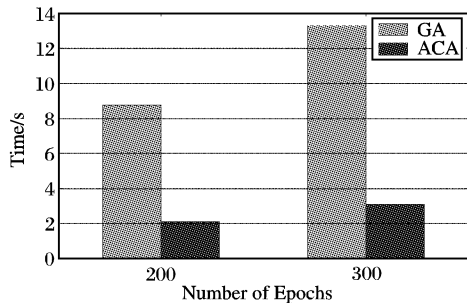


图 6 GA 与 MMAS 运行速度比较

最后,为验证其泛化功能,任取 10 组非样本中的输入数据,对按 MMAS 训练后的 FPN 模型进行模糊推理。推理结果如表 2 中的实际输出栏所示,它们反映的是结果命题  $M(p_8)$  的隶属度值,输出端均方误差和为  $9.4681 \times 10^{-4}$ ,结果令人满意。

表 2 期望输出和实际输出

序号	期望输出	实际输出	序号	期望输出	实际输出
1	0.652400	0.685034	6	0.409192	0.411359
2	0.590800	0.620175	7	2.223200	2.244070
3	0.876400	0.904015	8	0.471184	0.475376
4	1.103200	1.143881	9	0.756560	0.791225
5	0.989520	1.045914	10	1.612800	1.629620

#### 4 结语

该文运用蚁群算法中的 MMAS 对 FPN 模型的各项参数进行寻优,使 FPN 具有神经网络一样的学习能力。经寻优后的 FPN 参数精度较高,且泛化能力较强。搜索过程中,采用了线程技术,实现多组参数的同时查找,有效减少了程序运行时间。但由于蚁群算法属全局搜索算法,面对大空间复杂系统的优化问题时,仍不可避免地存在用时多精度不够的状况,今后的研究还需配合局部搜索能力出众的 BP 算法,结合激活函数的优化,来进一步提高 FPN 模型的寻优精确度。

表 2 期望输出和实际输出

序号	期望输出	实际输出	序号	期望输出	实际输出
1	0.652400	0.685034	6	0.409192	0.411359
2	0.590800	0.620175	7	2.223200	2.244070
3	0.876400	0.904015	8	0.471184	0.475376
4	1.103200	1.143881	9	0.756560	0.791225
5	0.989520	1.045914	10	1.612800	1.629620

#### 参考文献:

- [1] 鲍培明. 基于 BP 网络的模糊 Petri 网的学习能力[J]. 计算机学报, 2004, 27(5).
- [2] 李士勇. 蚁群算法及其应用[M]. 哈尔滨: 哈尔滨工业大学出版社, 2004. 17-96.
- [3] LI X-O. Dynamic knowledge inference and learning under adaptive fuzzy Petri net frame work[J]. IEEE Transactions on Systems, Man and Cybernetic - Part C: Application and Reviews, 2000, 30(4): 442-449.
- [4] 周良忠. C++ 面向对象多线程编程[M]. 北京: 人民邮电出版社, 2003. 76-120.
- [5] 丛爽. 神经网络、模糊系统及其在运动控制中的应用[M]. 合肥: 中国科学技术大学出版社, 2001. 208-218.

(上接第 632 页)

#### 参考文献:

- [1] STORN R, PRICE K. Differential evolution - a simple and efficient heuristic for global optimization over continuous spaces[J]. Journal of Global Optimization, 1997, 11(4): 341-359.
- [2] PRICE K. Differential evolution: A fast and simple numerical optimizer[A]. Proceedings NAFIPS'96[C]. 1996. 524-525.
- [3] BABU BV, MUNAWAR SA. Different Evolution for the Optimal Desig of Heat Exchangers[A]. Proceedings of All-India seminar on Chemical Engineering Progress on Resource Development: A Vision 2010 and Beyond, IE(1)[C]. 2000.
- [4] CRUZ ILL, VAN WILLIGENBURG LG, VAN STRATEN G. Efficient differential evolution algorithms for multimodal/ optimal control problem[J]. Application Soft Computing, 2003, 3(2): 97-122.
- [5] ABBASS H. Self-adaptive pareto differential evolution[A]. Proceed-

- ings of the IEEE 2002 Congress on Evolutionary Computation[C]. Honolulu, Hawaii, IEEE Press, 2002.
- [6] 刘勇, 康立山, 陈毓屏. 非数值并行算法(第二册)——遗传算法[M]. 北京: 科学出版社, 2003.
- [7] VESTERSTROM J, THOMSEN R. A comparative study of differential evolution, particle swarm optimization, and evolutionary algorithm on numerical Benchmark problems[A]. Evolutionary Computation, CEC2004[C]. 2004, 2. 1980-1987.
- [8] 耿素云, 屈婉玲, 王捍贫. 离散数学教程[M]. 北京: 北京大学出版社, 2003.
- [9] 黄席樾, 张著洪, 何传江, 等. 现代智能算法理论及应用[M]. 北京: 科学出版社, 2005.
- [10] <http://www.iwr.uni-heidelberg.de/groups/comopt/software/TSPLIB95/EB/OL>, 2006.